

УДК 537. 534. 8

Анализ низкоразмерных полупроводниковых гетероструктур методом ВИМС-профилирования / Б.Я. Бер, А.В. Меркулов // Научное приборостроение. — 1992. — Т.2. — №4: Поверхность и методы ее исследования. — С. 31-34.

В работе представлены результаты экспериментов по получению распределения кремния в структурах AlGaAs/GaAs : Si/AlGaAs с изолированными квантовыми ямами. Достигнуто разрешение по глубине порядка 2,5 нм. Показана необходимость использования высокого разрешения по массам. В работе приведен пример определения глубинных профилей концентрации в низкоразмерных структурах как при ионном травлении в режиме динамической ВИМС, так и в квазистатическом режиме ВИМС по методу "косого шлифа" с использованием высокого латерального разрешения. Библ. 5 назв. Ил. 6.

Б. Я. Бер, А. В. Меркулов

(Физико-технический институт им. А. Ф. Иоффе РАН, Санкт-Петербург)

АНАЛИЗ НИЗКОРАЗМЕРНЫХ ПОЛУПРОВОДНИКОВЫХ ГЕТЕРОСТРУКТУР МЕТОДОМ ВИМС-ПРОФИЛИРОВАНИЯ

Precise control of dopant concentration and position is essential to the performance of semiconductor devices. The secondary ion spectroscopy (SIMS) technique has been revealed as a very powerful method for such determination. This paper deals with the search for satisfactory experimental conditions for the determination of Si doping level in GaAlAs /GaAs superlattices. Optimized conditions demonstrate satisfactory sensitivity in the range of $5 \cdot 10^{16} \text{ cm}^{-3}$, together with good depth resolution equal to about 2,5 nm. An example of alternative approach to SIMS profiling of semiconductor heterostructure using SIMS map on a beveled surface is presented.

Вторично-ионная масс спектрометрия (ВИМС) является одним из наиболее мощных прямых методов определения концентрации элементов в тонких слоях. В связи с этим ВИМС-профилирование широко применяется при разработке технологии полупроводниковых гетероструктур на основе соединений A^3B^5 , использующихся для изготовления современных оптоэлектронных и микроэлектронных приборов. ВИМС-профилирование позволяет получить распределение легирующей примеси, вводимой при эпитаксиальном росте таких структур. Основные требования при анализе полупроводниковых структур — высокая чувствительность и максимальное разрешение по глубине.

Разрешение по глубине вторично-ионных методов определяется несколькими физическими процессами, возникающими при ионной бомбардировке: каскадное атомное перемешивание, радиационно-стимулированная диффузия и неравномерность травления по дну кратера. Вклад каждого из перечисленных процессов зависит от условий травления. Для повышения послойного разрешения необходимо уменьшить глубину проникновения первичных ионов (существенно зависящую от их массы, энергии и угла падения [1]). Однако в случае изменения энергии первичного иона в используемом нами масс-спектрометре IMS 4F меняется и угол падения иона [2], что связано с наличием электростатического поля, вытягивающего вторичные ионы. Коэффициент распыления, как функция угла падения при ионной бомбардировке, вблизи 60° возрастает так, что изменение угла падения на $0,2^\circ$ приводит к изменению коэффициента распыления на 1%, и, следовательно, к изменению скорости травления по площади кратера [3]. В связи с этим при исследовании низкоразмерных структур, залегающих на глубинах порядка 0,2 мкм и более, и при низких энергиях первичных ионов существенный вклад в разрешение по глубине вносит неравномерность скорости травления и вызванная этим непланарность дна кратера. Анализируемые вторичные ионы собираются со значительной части площади кратера (порядка 10%), что приводит к ухудшению разрешения по глубине, которое может быть записано в следующем виде [4]:

$$\Delta z = \alpha + r(z) + \beta z^\gamma + d(x, y, z).$$

Здесь α учитывает фундаментальные физические процессы (атомное перемешивание, внедрение первичных ионов, ионно-стимулированную диффузию); $r(z)$ описывает влияние поверхностных микронеровностей; βz^γ учитывает ухудшение послойного разрешения с глубиной вследствие неравномерности скорости травления. Последний член зависит от положения, размеров области отбора вторичных ионов и распределения глубин в данной области.

Экспериментальные результаты, описанные в работе, получены на вторично-ионном масс-спектрометре IMS 4F фирмы CAMECA. Используя режим ионного микроскопа, можно визуально проследить динамику послойного травления по площади растра. Было определено, что слои вскрываются неравномерно по полю растра, а это свидетельствует о наклоне дна кратера по отношению к первоначально планарной поверхности образца. Для оптимизации режима травления и выбора области отбора вторичных ионов применялся тестовый образец, состоящий из трех квантовых ям InGaAs различного состава толщиной 5 нм, разделенных барьерами GaAs толщиной 30 нм.

Профиль распределения относительных концентраций (C) In и Ga по глубине образца (рис. 1) получен в экспериментально определенных оптимальных условиях. Энергия пучка первичных ионов $Cs^+ E_p$ равнялась 2,2 кэВ. При этом угол падения пучка $\theta = 56^\circ$ от нормали к образцу. Анализировались положительно заряженные вторичные ионы In_2^+ , Ga_2^+ . Плотность тока первичных ионов $Cs^+ j = 10^{-4} A/cm^2$.

Рис. 1. Профиль послойного анализа структуры InGaAs(5 нм)/GaAs(30 нм).

Выбранные параметры травления и сбора вторичных ионов использовались при исследовании распределения легирующей примеси Si по глубине в гетероструктуре с изолированными квантовыми ямами $(001) Al_{0,3} Ga_{0,7} As(30 \text{ нм}) / GaAs(5 \text{ нм}) \dots$, выращенной методом МОС-гидридной эпитаксии. В центральной части квантовой ямы GaAs производилось легирование кремнием до концентрации 10^{18} см^{-3} . Профиль легирования, полученный при тех же экспериментальных условиях, представлен на рис. 2. Достигнутое

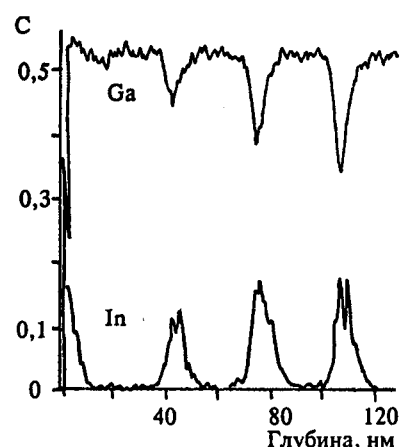


Рис. 1. Профиль послойного анализа структуры InGaAs(5 нм)/GaAs(30 нм).

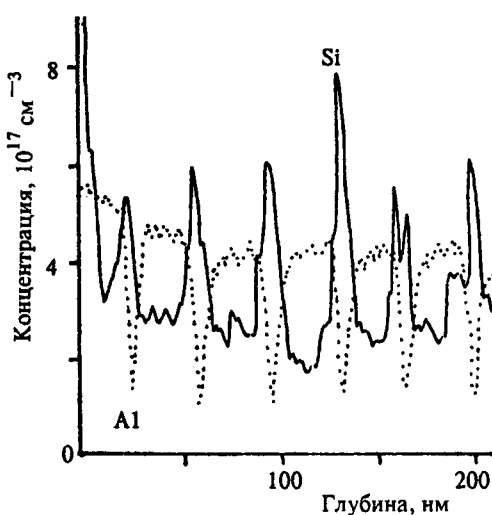


Рис. 2. Профиль распределения легирующей примеси Si в гетероструктуре $Al_{0,3} Ga_{0,7} As(30 \text{ нм}) / GaAs(5 \text{ нм}) \dots$

разрешение по глубине составило величину 2,5 нм. Количественный ВИМС-анализ проводился с использованием калибровочных стандартов GaAs:Si, легированных методом ионной имплантации.

Следует отметить, что при изучении структур на основе соединений AlGaAs/GaAs, легированных Si, возникает ряд проблем, связанных с интерференцией в спектре масс вторичных ионов $^{28}\text{Si}^+$ ($M = 27,977$ а.е.м) и кластерных ионов $^{28}\text{AlH}^+$ ($M=27,989$ а.е.м), $^{28}\text{CO}^+$ ($M = 27,994$ а.е.м), $^{28}\text{N}_2^+$ ($M = 28,006$ а.е.м) в слоях AlGaAs [5]. На рис. 3 показан типичный участок масс-спектра образца AlGaAs:Si, снятого в режиме высокого разрешения по массе ($M/\Delta M=4592$). Наличие интенсивного пика AlH^+ существенно ограничивает чувствительность при анализе кремния в AlGaAs/GaAs структурах. Поэтому в случае ВИМС-анализа необходимо использовать высокое массовое разрешение, несмотря на то, что при этом падает чувствительность. Все профили в данной работе сняты с разрешением $M/\Delta M$ порядка 2500. При этом предел обнаружения Si в GaAs был не хуже $5 \cdot 10^{16} \text{ см}^{-3}$.

Наряду с послойным профилированием для анализа основных компонентов в полупроводниковых гетероструктурах иногда применяется так называемый метод "косого шлифа". На рис. 4 схематично показана применяемая в этом методе форма образца. Распределение материала по поверхности образца исследуется в режиме микрозонда или микроскопа. В этом случае важным параметром является латеральное разрешение, определяемое, в основном, размером первичного пучка и aberrациями ионно-оптической системы. Формирование косого шлифа выполнялось *in situ* травлением ионным пучком Cs⁺ малой энергии ($E = 2\text{--}3$ кэВ) по специально разрабо-

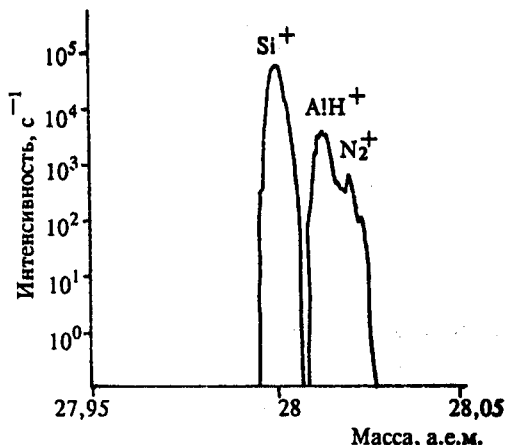


Рис. 3. Участок масс-спектра вблизи массы 28, измеренный в режиме высокого разрешения по массам, тестового образца AlGaAs, легированного Si.

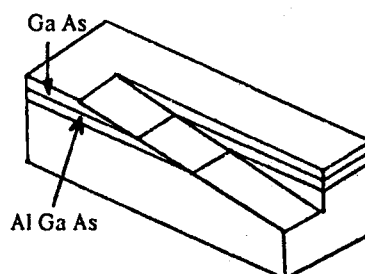


Рис. 4. Схематичное строение образца, используемого в методе "косого шлифа".

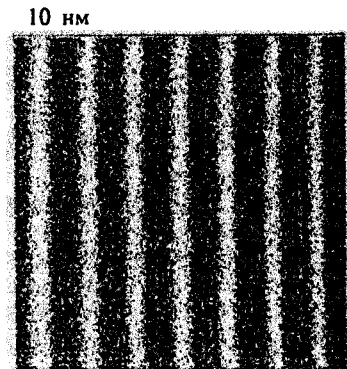


Рис. 5. Распределение Al по поверхности при исследовании методом "косого шлифа" многослойной структуры $\text{Al}_{0.3}\text{Ga}_{0.7}\text{As}(50 \text{ нм}) / \text{GaAs}(50 \text{ нм})$.

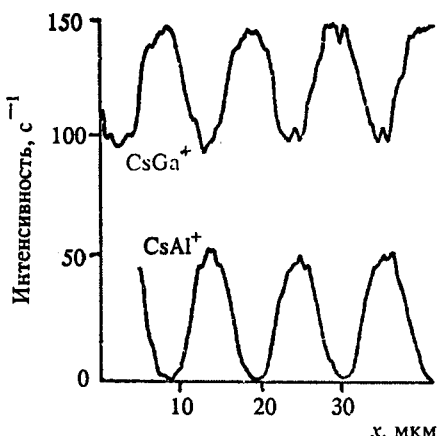


Рис. 6. Профиль распределения Al и Ga вдоль поверхности шлифа, изображенного на рис. 5.

гетероструктуры по глубине. Важно отметить, что в методе "косого шлифа" разрешение по глубине не зависит от глубины залегания исследуемых структур.

Таким образом, тонкое ВИМС-профилирование позволяет определить положение легированных слоев в низкоразмерных гетероструктурах точно-стю в несколько нанометров. Для уменьшения уровня фона при исследовании распределения легирующей примеси Si в структурах на основе AlGaAs/GaAs необходимо использовать высокое разрешение по массам. Используя высокое латеральное разрешение прибора, можно изучать различные структуры в широком диапазоне глубин. Все это делает ВИМС важной методикой в технологии оптоэлектронных приборов.

ЛИТЕРАТУРА

1. Benninghoven A., Rudenauer F. G., Werner H. W. Secondary Ion Mass Spectrometry. New-York, 1987. 1242 P.
2. Meuris M., Bisschop P. De, Leclair J. F., Vandervorst W. // Surf. Interf. Anal. — 1989. — V. 14. — P. 739—743.
3. Bulle-Lieuwma C. W. T., Zalm P. C. // Ibid. — 1987. — V. 10. — P. 210.
4. McPhail D. C., Dowsett M. G., Fox H. e. a. // Ibid. — 1988. — V. 11. — P. 80—87.
5. Gauneean M., Chaplain R., Regreny A. e. a. // Ibid. — P. 545—552.

Рукопись поступила 28.07.92

тантной программе, позволяющей достичь постоянного угла наклона шлифа. Угол выбирается в зависимости от диапазона исследуемых глубин. В используемом нами режиме микрозонда пучок ионов Cs^+ обладал минимальными размерами порядка микрона при токе $I_p = 2 \text{ нА}$. ВИМС-карта (рис.5) поверхности, снятая при измерении сигнала кластера CsAl^+ , позволяет получить распределение основных элементов по поверхности косого шлифа (рис. 6). Здесь x — координата точки сканирования вдоль шлифа. Анализировались комплексные ионы CsGa^+ и CsAl^+ . Измеряя угол наклона шлифа, можно восстановить распределение основных элементов